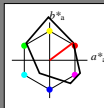


Eingabe: Farbmétrisches Drucker-Reflektiv-System FRS06

für Buntton $h^* = lab^*h = 37/360 = 0.102$
 lab^*ch und lab^*nch

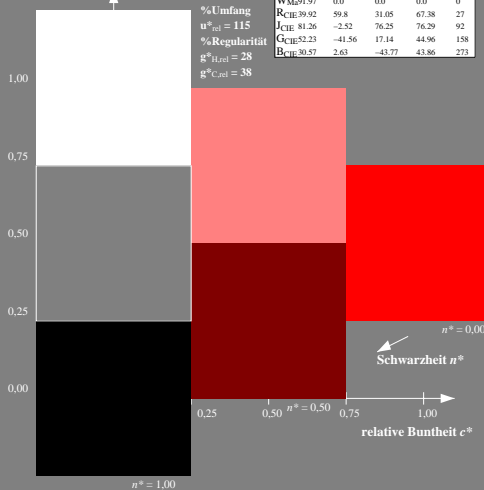
D65: Buntton O
LCH*Ma: 33 78 37
olv*Ma: 1.0 0.0 0.0

Dreiecks-Helligkeit t^*



%Umfang
 $u^*_{rel} = 115$
%Regularität
 $g^*_{H,rel} = 28$
 $g^*_{C,rel} = 38$

FRS06; adaptierte CIELAB-Daten					
$L^* = L^*_a$	a^*_a	b^*_a	$C^*_{ab,a}$	$h^*_{ab,a}$	
OMa 32.57	62.32	46.49	77.75	37	
YMa 82.73	-3.16	113.99	114.03	92	
LMa 39.43	-61.79	45.84	76.95	143	
CMa 47.86	-26.79	-34.24	43.49	232	
VMa 10.16	55.12	-61.03	82.24	312	
MMa 34.5	80.68	-33.92	87.52	337	
NMa 6.25	0.0	0.0	0.0	0	
WMa 91.97	0.0	0.0	0.0	0	
RCIE 39.92	59.8	31.05	67.38	27	
JCIIE 81.26	-2.52	76.25	76.29	92	
GCIIE 52.23	-41.56	17.14	44.96	158	
BCIE 30.57	2.63	-43.77	43.86	273	

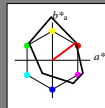


Ausgabe: Farbmétrisches Drucker-Reflektiv-System FRS06

für Buntton $h^* = lab^*h = 37/360 = 0.102$
 lab^*ch und lab^*nch

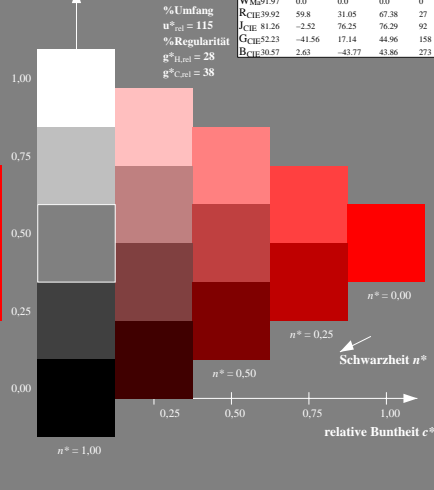
D65: Buntton O
LCH*Ma: 33 78 37
olv*Ma: 1.0 0.0 0.0

Dreiecks-Helligkeit t^*



%Umfang
 $u^*_{rel} = 115$
%Regularität
 $g^*_{H,rel} = 28$
 $g^*_{C,rel} = 38$

FRS06; adaptierte CIELAB-Daten					
$L^* = L^*_a$	a^*_a	b^*_a	$C^*_{ab,a}$	$h^*_{ab,a}$	
OMa 32.57	62.32	46.49	77.75	37	
YMa 82.73	-3.16	113.99	114.03	92	
LMa 39.43	-61.79	45.84	76.95	143	
CMa 47.86	-26.79	-34.24	43.49	232	
VMa 10.16	55.12	-61.03	82.24	312	
MMa 34.5	80.68	-33.92	87.52	337	
NMa 6.25	0.0	0.0	0.0	0	
WMa 91.97	0.0	0.0	0.0	0	
RCIE 39.92	59.8	31.05	67.38	27	
JCIIE 81.26	-2.52	76.25	76.29	92	
GCIIE 52.23	-41.56	17.14	44.96	158	
BCIE 30.57	2.63	-43.77	43.86	273	



VG280-1, 3stufige Reihen für konstanten CIELAB Buntton 37/360 = 0.102 (links)

5stufige Reihen für konstanten CIELAB Buntton 37/360 = 0.102 (rechts)

BAM-Prüfvorlage VG28; Farbmétrik-Systeme FRS06 & FRS06
D65: 3 und 5stufige Farbreihen für 10 Bunttöne

input: olv* setrgbcolor
output: no change compared to input